

Δυναμική Ρομποτικών Συστημάτων



I. Πουλακάκης

Σχολή Μηχανολόγων Μηχανικών
Εθνικό Μετσόβιο Πολυτεχνείο
poulakas@mail.ntua.gr



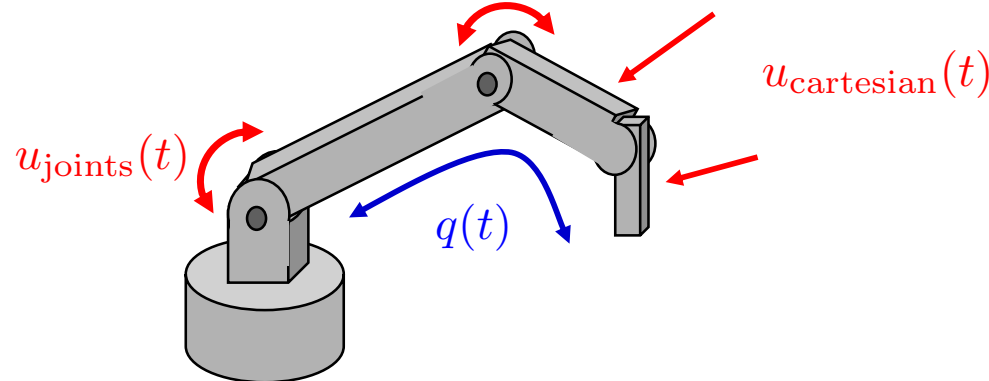
Δυναμικό μοντέλο

Παρέχει τη **σχέση** μεταξύ:

των γενικευμένων **δυνάμεων** $u(t)$ που ασκούνται στο ρομπότ



της επακόλουθης **κίνησης** $q(t)$ του ρομπότ



Σύστημα διαφορικών εξισώσεων 2^{ης} τάξης : $\Phi(q(t), \dot{q}(t), \ddot{q}(t)) = u(t)$



Ευθεία δυναμική

- Ευθεία σχέση :

$$u(t) = \begin{pmatrix} u_1(t) \\ u_2(t) \\ \vdots \\ u_n(t) \end{pmatrix} \quad \xrightarrow{\text{red arrow}} \quad \text{Diagram of a robotic arm} \quad \xrightarrow{\text{green arrow}} \quad q(t) = \begin{pmatrix} q_1(t) \\ q_2(t) \\ \vdots \\ q_n(t) \end{pmatrix}$$

είσοδος για $t \in [0, T]$ **+** $q(0), \dot{q}(0)$

αρχικές συνθήκες για $t = 0$

επακόλουθη **κίνηση**

- Πειραματικά:

– Εφαρμόζουμε ροπές/δυνάμεις με τους επενεργητές του ρομπότ και **μετράμε** την επακόλουθη κίνηση των αρθρώσεων (π.χ. μέσω encoders)

- Σε **simulation**:

$$\Phi(q(t), \dot{q}(t), \ddot{q}(t)) = u(t)$$

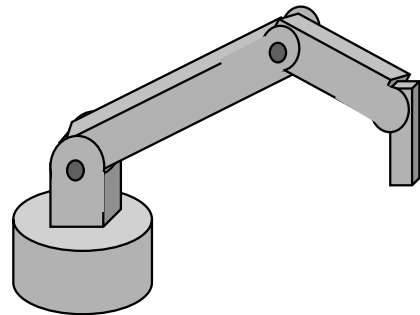
– Χρησιμοποιούμε το δυναμικό μοντέλο και **ολοκληρώνουμε (αριθμητικά)** τις αντίστοιχες διαφορικές εξισώσεις



Αντίστροφη δυναμική

- Αντίστροφη σχέση:

$q_d(t), \dot{q}_d(t), \ddot{q}_d(t)$



$u_d(t)$

επιθυμητή κίνηση
για $t \in [0, T]$

Απαιτούμενες ροπές /
δυνάμεις για $t \in [0, T]$

- Πειραματικά:

- π.χ. με επαναλαμβανόμενα πειράματα ευθείας δυναμικής χρησιμοποιώντας το $u_k(t)$ και επαναληπτική μάθηση των ονομαστικών τιμών ροπής στην επανάληψη $k + 1$ βάσει του σφάλματος στο $[0, T]$ μετρούμενο στην επανάληψη k : $\lim_{k \rightarrow \infty} u_k(t) = u(t)$

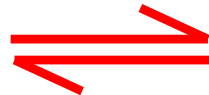
- Αναλυτικά:

- Χρησιμοποιούμε το δυναμικό μοντέλο και **υπολογίζουμε (αλγεβρικά)** τις τιμές των δυνάμεων και ροπών σε κάθε χρονική στιγμή



Μεθοδολογίες δυναμικής μοντελοποίησης

Μέθοδος Euler-Lagrange
(βασισμένη στην ενέργεια)



Μέθοδος Newton-Euler
(βασισμένη σε ισοζύγιο
δυνάμων ροπών)

- Δυναμικές εξισώσεις σε **συμβολική/κλειστή** μορφή
- Χρήσιμη για την ανάλυση δυναμικών χαρακτηριστικών του ρομπότ και τη **σύνθεση νόμων ελέγχου**
- Υπάρχουν και άλλες μέθοδοι βασισμένες σε αρχές της μηχανικής που χρησιμοποιούνται για την κατασκευή του δυναμικού μοντέλου ενός ρομπότ
 - π.χ. αρχή του d'Alembert, αρχή του Hamilton, αρχή των δυνατών έργων, μέθοδος του Kane
 -



Η μέθοδος Euler-Lagrange

Βασική παραδοχή: Οι σύνδεσμοι (links) του ρομπότ μοντελοποιούνται σαν **στερεά σώματα** (+ «συγκεντρωμένη» ελαστικότητα μπορεί να προστεθεί μέσω ελατηρίων στις αρθρώσεις)

$$q \in \mathbb{R}^n$$
$$q = \begin{bmatrix} q_1 & q_2 & \cdots & q_n \end{bmatrix}^T$$

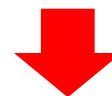
} γενικευμένες συντεταγμένες (π.χ. μεταβλητές αρθρώσεων, και όχι μόνο!)

Λαγκρανζιανή

$$L(q, \dot{q}) = T(q, \dot{q}) - U(q)$$

κινητική ενέργεια – δυναμική ενέργεια

- Αρχή της ελάχιστης δράσης του Hamilton
- Αρχή των δυνατών έργων



Εξισώσεις
Euler-Lagrange

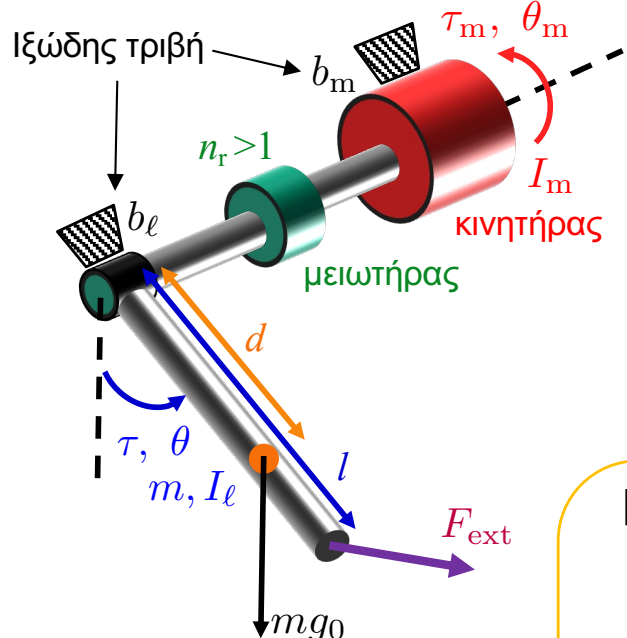
$$\frac{d}{dt} \frac{\partial L}{\partial \dot{q}_i} - \frac{\partial L}{\partial q_i} = u_i, \quad i = 1, \dots, n$$

μη συντηρητικές δυνάμεις (κινητήρες + δυνάμεις αλληλεπίδρασης)
Γενικευμένες δυνάμεις που παράγουν έργο στις q_i



Παράδειγμα 1 (Δυναμική ενεργούμενου εκκρεμούς)

[3D άψη]



$$\text{Μειωτήρας: } \dot{\theta}_m = n_r \dot{\theta} \Rightarrow \theta_m = n_r \theta + \theta_{m,0}$$

$$\tau = n_r \tau_m$$

$$\text{Γενικ. συν/νες: } q = \theta$$

$$(\text{εναλλακτικά } q = \theta_m)$$

$$\text{Κινητική ενέργεια: } T = T_m + T_\ell$$

Κιν. Ενέργεια κινητήρα:

$$T_m = \frac{1}{2} I_m \dot{\theta}_m^2$$

αδράνεια κινητήρα
(ως προς τον άξονα περιστροφής του)

Κιν. Ενέργεια συνδέσμου:

$$T_\ell = \frac{1}{2} (I_\ell + md^2) \dot{\theta}^2$$

αδράνεια συνδέσμου
(ως προς άξονα z διερχόμενου από το κέντρο μάζας...)

(...+ ως προς || άξονα διερχόμενου από τη βάση)

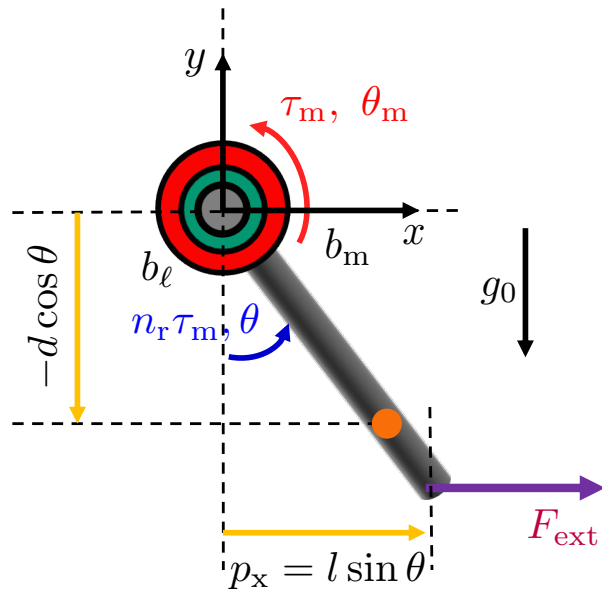
Συνολική κινητική ενέργεια :

$$T = \frac{1}{2} (I_\ell + md^2 + I_m n_r^2) \dot{\theta}^2 = \frac{1}{2} I \dot{\theta}^2$$



Παράδειγμα 1 (Δυναμική ενεργούμενου εκκρεμούς, συνέχ.)

[2D όψη]



$$\text{Δυναμική ενέργεια: } U = U_0 - mg_0 d \cos \theta$$

$$L = T - U = \frac{1}{2} I \dot{\theta}^2 + mg_0 d \cos \theta - U_0$$

$$\frac{\partial L}{\partial \dot{\theta}} = I \dot{\theta}$$

$$\frac{d}{dt} \frac{\partial L}{\partial \dot{\theta}} = I \ddot{\theta}$$

$$\frac{\partial L}{\partial \theta} = -mg_0 d \sin \theta$$

$$\dot{p}_x = l \cos \theta \cdot \dot{\theta} = J_x \dot{\theta}$$

Άθροισμα μη συντηρητικών δυνάμεων:

$$u = n_r \tau_m - b_\ell \dot{\theta} - n_r b_m \dot{\theta}_m + J_x^T F_x = n_r \tau_m - (b_\ell + b_m n_r^2) \dot{\theta} + l \cos \theta F_x$$

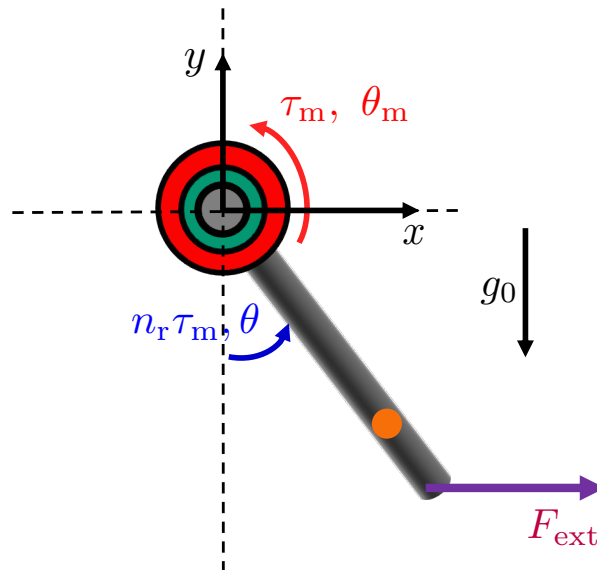
Κινητήριες ροπές και ροπές απόσβεσης στην πλευρά του κινητήρα (πριν τον μειωτήρα) πολλαπλασιάζονται με n_r όταν μεταφέρονται στην πλευρά του συνδέσμου

«Ισοδύναμη» ροπή εξ' αιτίας της εξωτερικής δύναμης F_{ext} που εφαρμόζεται στο άκρο p_x του εκκρεμούς



Παράδειγμα 1 (Δυναμική ενεργούμενου εκκρεμούς, συνέχ.)

[2D όψη]



Δυναμικό μοντέλο σε συν/νες $q = \theta$

$$I\ddot{\theta} + mg_0d \sin \theta = n_r \tau_m - (b_\ell + b_m n_r^2)\dot{\theta} + l \cos \theta \cdot F_{\text{ext}}$$

Διαιρώντας με n_r και αντικαθιστώντας $\theta = \theta_m / n_r$



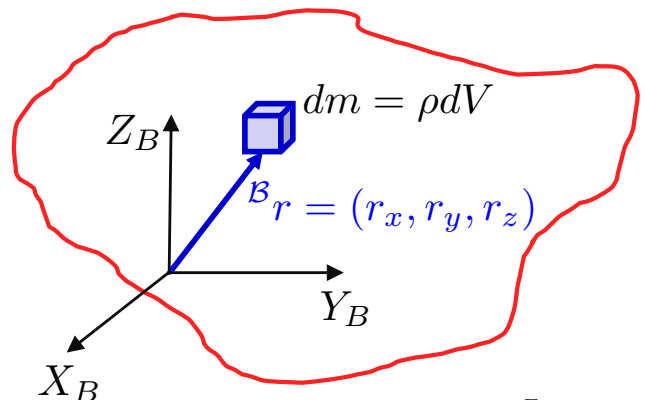
Δυναμικό μοντέλο σε συν/νες $q = \theta_m$

$$\frac{I}{n_r^2}\ddot{\theta}_m + \frac{m}{n_r}g_0d \sin \frac{\theta_m}{n_r} = \tau_m - \left(\frac{b_\ell}{n_r^2} + b_m \right) \dot{\theta}_m + \frac{l}{n_r} \cos \frac{\theta_m}{n_r} \cdot F_{\text{ext}}$$



Μητρώα αδρανείας στερεών σωμάτων

Μητρώο αδρανείας σε σχέση με σωματόδετο $\Sigma\Sigma$ $\mathcal{B} = \{X_B, Y_B, Z_B\}$



$$\mathcal{B} I = \begin{bmatrix} I_{xx} & -I_{xy} & -I_{xz} \\ -I_{xy} & I_{yy} & -I_{yz} \\ -I_{xz} & -I_{yz} & I_{zz} \end{bmatrix}$$

(Τα στοιχεία του $\mathcal{B} I$ εξαρτώνται από το $\Sigma\Sigma$ και είναι σταθερά για δεδομένο $\Sigma\Sigma$)

$$I_{xx} = \int_V (r_y^2 + r_z^2) \rho dV \quad I_{yy} = \int_V (r_x^2 + r_z^2) \rho dV \quad I_{zz} = \int_V (r_x^2 + r_y^2) \rho dV$$

$$I_{xy} = \int_V r_x r_y \rho dV \quad I_{xz} = \int_V r_x r_z \rho dV \quad I_{yz} = \int_V r_y r_z \rho dV$$

Με κατάλληλη επιλογή $\Sigma\Sigma$:

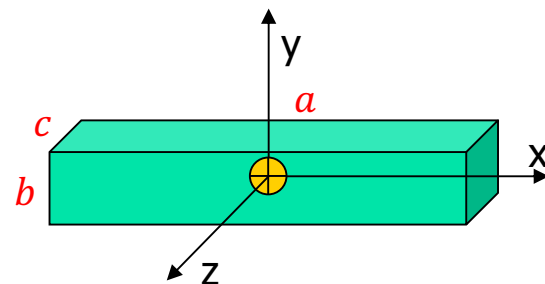
$$I_{xy} = I_{xz} = I_{yz} = 0$$

Κύριοι άξονες αδρανείας &
διαγώνιο μητρώο αδρανείας!

Αλλαγή αξόνων (μετα/σμοί ομοιότητας) $\rightarrow {}^0 I_i(q) = {}^0 R_i^T(q) {}^i I_i(q) {}^0 R_i(q)$

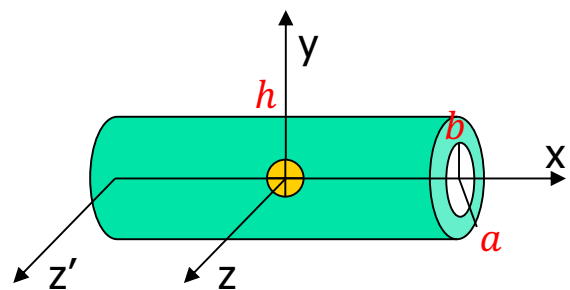


Ομογενή συμμετρικά σώματα



Παραλληλεπίπεδο με πλευρές a, b, c

$$I_c = \begin{bmatrix} I_{xx} & & \\ & I_{yy} & \\ & & I_{zz} \end{bmatrix} = \begin{bmatrix} \frac{1}{12}m(b^2 + c^2) & & \\ & \frac{1}{12}m(a^2 + c^2) & \\ & & \frac{1}{12}m(a^2 + b^2) \end{bmatrix}$$



Κύλινδρος μήκους h , με
εξωτερική/εσωτερική ακτίνα a, b

$$I_c = \begin{bmatrix} \frac{1}{12}m(a^2 + b^2) & & \\ & \frac{1}{12}m(3(a^2 + b^2) + h^2) & \\ & & I_{zz} \end{bmatrix}$$

$$I_{zz} = I_{yy}$$

$$I'_{zz} = I_{zz} + m\left(\frac{h}{2}\right)^2 \text{ Θεώρημα παράλληλης μεταφοράς αξόνων...}$$

Θεώρημα Steiner (παράλληλης μεταφοράς):

$$I = I_c + m(r^T r \cdot E_{3 \times 3} - rr^T) = I_c + m \cdot [r^\times]^T [r^\times]$$

Μητρώο αδρανείας σχετικά με το κέντρο μάζας (CoM)

Μοναδιαίος 3x3 πίνακας

Αντισυμμετρικός πίνακας

$$[r]^\times = \begin{bmatrix} 0 & -r_z & r_y \\ r_z & 0 & -r_x \\ -r_y & r_x & 0 \end{bmatrix}$$

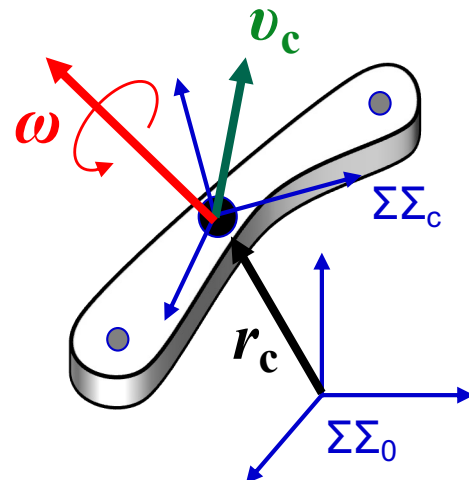
... γενίκευση:

μεταβολή μητρώου αδρανείας λόγω παράλληλης μεταφοράς του συστήματος αναφοράς κατά r



Κινητική ενέργεια στερεού σώματος

Στερεό σώμα



$\Sigma\Sigma_c$: κεντροβαρικό

$\Sigma\Sigma_0$: αναφοράς

πυκνότητα

$$\text{Μάζα} \quad m = \int_B \rho(x, y, z) dx dy dz = \int_B dm$$

$$\text{Θέση κέντρου} \quad r_c = \frac{1}{m} \int_B r dm \\ \text{μάζας (CoM)}$$

Όταν όλα τα διανύσματα **αναφέρονται** σε σωματόδετο $\Sigma\Sigma_c$ τοποθετημένο στο κέντρο μάζας:

$$r_c = 0 \quad \Rightarrow \quad \int_B r dm = 0$$

$$\text{Κινητική ενέργεια} \quad T = \frac{1}{2} \int_B \|v(x, y, z)\|^2 dm = \frac{1}{2} \int_B v(x, y, z)^T v(x, y, z) dm$$

$$\text{(Θεμελιώδης) Κινηματική} \\ \text{εξίσωση στερεού σώματος} \quad v = v_c + \omega \times r = v_c + [\omega^\times]r$$



Κινητική ενέργεια στερεού σώματος (συνεχ.)

$$T = \frac{1}{2} \int_B (v_c + [\omega^\times]r)^T (v_c + [\omega^\times]r) dm$$

$$= \frac{1}{2} \int_B v_c^T v_c dm + \int_B v_c^T [\omega^\times] r dm + \frac{1}{2} \int_B r^T [\omega^\times]^T [\omega^\times] r dm$$

$$= \frac{1}{2} m v_c^T v_c$$

Μεταφορική κινητική ενέργεια (μάζα συγκεντρωμένη στο κέντρο μάζας)

$$= v_c^T [\omega^\times] \int_B r dm = 0$$

+

Περιστροφική κινητική ενέργεια (ολόκληρου του στερεού σώματος)

$$= \frac{1}{2} \int_B \omega^T [r^\times]^T [r^\times] \omega dm$$

$$= \frac{1}{2} \omega^T \left(\int_B [r^\times]^T [r^\times] dm \right) \omega$$

$$= \frac{1}{2} \omega^T I_c \omega$$

Μητρώο αδρανείας σώματος (γύρω από το κέντρο μάζας)

$$T = \frac{1}{2} m v_c^T v_c + \frac{1}{2} \omega^T I_c \omega$$

Κινητική ενέργεια ρομποτικού βραχίονα

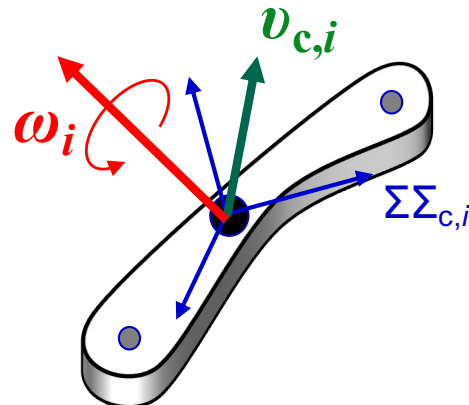


$$T = \sum_{i=1}^n T_i$$

$$T_i = T_i (q_j, \dot{q}_j \mid j \leq i)$$

n στερεά σώματα

ανοιχτή κινηματική αλυσίδα



σύνδεσμος i του
ρομπότ

$$T_i = \frac{1}{2} m_i v_{c,i}^\top v_{c,i} + \frac{1}{2} \omega_i^\top I_{c,i} \omega_i$$

Απόλυτη ταχύτητα
του κέντρου μάζας
(CoM)

Απόλυτη γωνιακή
ταχύτητα ολόκληρου
του σώματος



Κινητική ενέργεια ρομποτικού συνδέσμου

$$T_i = \frac{1}{2} m_i v_{c,i}^T v_{c,i} + \frac{1}{2} \omega_i^T I_{c,i} \omega_i$$

$\omega_i, I_{c,i}$ εκφράζονται στο **ίδιο σύστημα συν/νων**, όμως το γινόμενο $\omega_i^T I_{c,i} \omega_i$ παραμένει «**αναλλοίωτο**» σχετικά με οποιοδήποτε ΣΣ

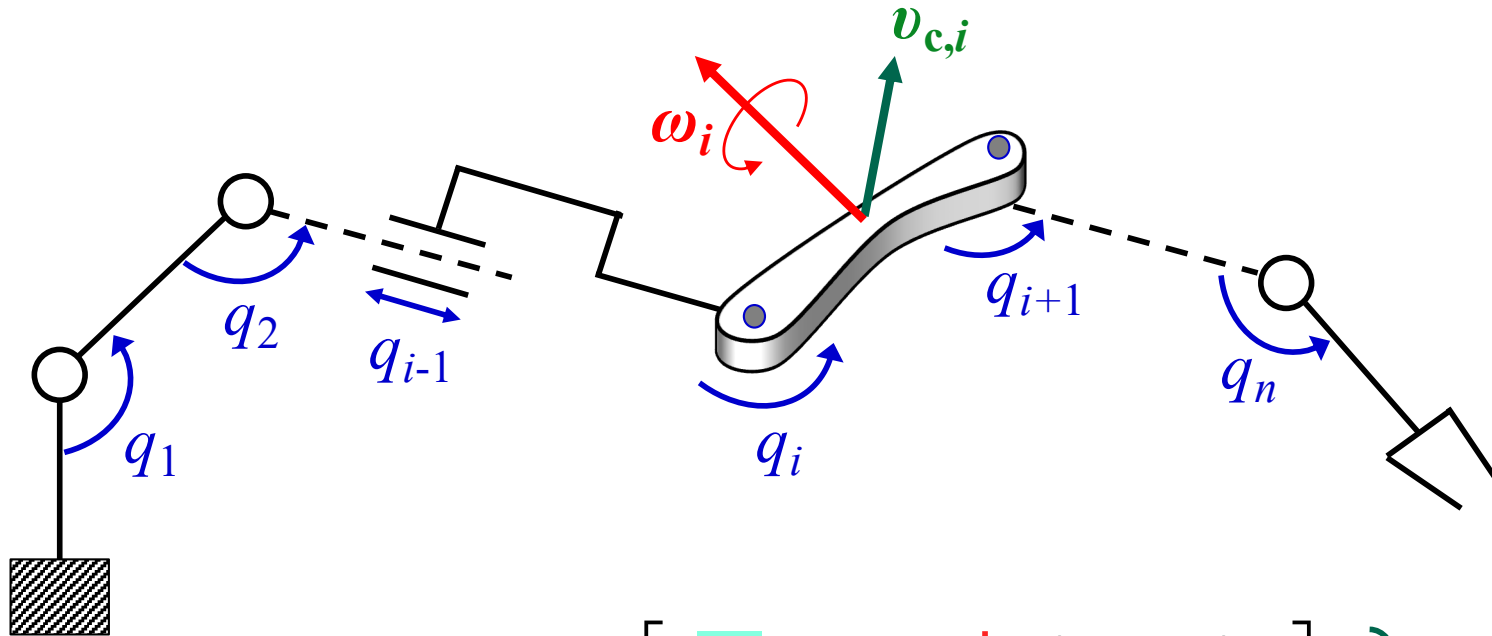
$$\begin{aligned} {}^0\omega_i^T {}^0I_{c,i}(q) {}^0\omega_i &= ({}^0R_i(q) {}^i\omega_i)^T {}^0I_{c,i}(q) ({}^0R_i(q) {}^i\omega_i) = {}^i\omega_i^T ({}^0R_i^T(q) {}^0I_{c,i}(q) {}^0R_i(q)) {}^i\omega_i \\ &= {}^i\omega_i^T {}^iI_{c,i} {}^i\omega_i \end{aligned} \quad \rightarrow \quad {}^0I_{c,i}(q) = {}^0R_i^T(q) {}^iI_{c,i} {}^0R_i(q)$$

Ως προς $\Sigma\Sigma_{c,i}$ προσαρμοσμένου στο κέντρο μάζας του συνδέσμου i

$${}^iI_{c,i} = \begin{bmatrix} \int(r_y^2 + r_z^2)dm & -\int r_x r_y dm & -\int r_x r_z dm \\ * & \int r_x^2 + r_z^2)dm & -\int r_y r_z dm \\ * & * & \int r_x^2 + r_y^2)dm \end{bmatrix}$$

↑
Σταθερό

Κινητική ενέργεια και Ιακωβιανές



$$v_{c,i} = J_{L,i}(q)\dot{q} = \begin{bmatrix} 1 & \vdots & i \end{bmatrix} \begin{bmatrix} 0 & 0 \\ 0 & \ddots & 0 \\ 0 & 0 \end{bmatrix} \dot{q} \quad \left. \right\} 3 \text{ γραμμές}$$

Γεωμετρική Ιακωβιανή
(συνήθως εκφρασμένη ως
προς το ΣΣ βάσης)

$$\omega_i = J_{A,i}(q)\dot{q} = \begin{bmatrix} 1 & \vdots & i \end{bmatrix} \begin{bmatrix} 0 & 0 \\ 0 & \ddots & 0 \\ 0 & 0 \end{bmatrix} \dot{q} \quad \left. \right\} 3 \text{ γραμμές}$$

Κινητική ενέργεια: Τελική έκφραση



$$T = \frac{1}{2} \sum_{i=1}^n (m_i v_{c,i}^\top v_{c,i} + \omega_i^\top I_{c,i} \omega_i)$$

Σημείωση:

Υπάρχουν καλύτεροι αλγόριθμοι για τον υπολογισμό της κινητικής ενέργειας

$$= \frac{1}{2} \dot{q}^\top \left(\sum_{i=1}^n m_i J_{L,i}^\top(q) J_{L,i}(q) + J_{A,i}^\top(q) I_{c,i}(q) J_{A,i}(q) \right) \dot{q}$$
$$T = \frac{1}{2} \dot{q}^\top M(q) \dot{q}$$

Ανεξάρτητο του q όταν
το ω_i εκφράζεται στο
 $\Sigma_{c,i}$, διαφορετικά:

$${}^0 I_{c,i}(q) = {}^0 R_i^\top(q) {}^i I_{c,i} {}^0 R_i(q)$$

Γενικευμένο μητρώο αδρανείας του ρομπότ:

- Συμμετρικός πίνακας
- Θετικά ορισμένος (αντιστρέψιμος για κάθε q)



Δυναμική ενέργεια

Για την ώρα, εξετάζουμε μόνο τη συνεισφορά της βαρύτητας

$$U = \sum_{i=1}^n U_i$$



n στερεά σώματα

$$U_i = U_i(q_j \mid j \leq i)$$



anoiχtή kinēmatikή alusíða

$$U_i = -m_i g^T r_{0,c,i}$$

{ Διάνυσμα επιτάχυνσης
της βαρύτητας

Θέση του κέντρου
μάζας του συνδέσμου *i*

Συνήθως τα
διανύσματα
εκφράζονται ως
προς $\Sigma\Sigma_0$

$$\begin{bmatrix} r_{0,c,i} \\ 1 \end{bmatrix} = {}^0 T_1(q_1)^1 T_2(q_2) \cdots {}^{i-1} T_i(q_i) \begin{bmatrix} r_{i,c,i} \\ 1 \end{bmatrix}$$

Σταθερό ως
προς το $\Sigma\Sigma_i$



Σύνοψη

Κινητική ενέργεια

$$T = \frac{1}{2} \dot{q}^T M(q) \dot{q} = \frac{1}{2} \sum_{i,j} m_{ij}(q) \dot{q}_i \dot{q}_j$$

Θετικά ορισμένη
τετραγωνική μορφή

$$T \geq 0$$

$$T = 0 \Leftrightarrow \dot{q} = 0$$

Δυναμική ενέργεια

$$U = U(q)$$

Λαγκρανζιανή

$$L(q, \dot{q}) = T(q, \dot{q}) - U(q)$$

Εξισώσεις
Euler-Lagrange

$$\frac{d}{dt} \frac{\partial L}{\partial \dot{q}_k} - \frac{\partial L}{\partial q_k} = u_k, \quad k = 1, \dots, n$$

Μη συντηρητικές γενικευμένες
δυνάμεις που εκτελούν έργο στη
γενικευμένη συντεταγμένη q_i



Εφαρμογή των εξισώσεων Euler-Lagrange

$$L(q, \dot{q}) = \frac{1}{2} \sum_{i,j} m_{ij}(q) \dot{q}_i \dot{q}_j - U(q)$$

$$\frac{\partial L}{\partial \dot{q}_k} = \sum_j m_{kj} \dot{q}_j \quad \rightarrow$$

$$\frac{d}{dt} \frac{\partial L}{\partial \dot{q}_k} = \sum_j m_{kj} \ddot{q}_j + \sum_{i,j} \frac{\partial m_{kj}}{\partial q_i} \dot{q}_i \dot{q}_j$$

$$\frac{\partial L}{\partial q_k} = \frac{1}{2} \sum_{i,j} \frac{\partial m_{ij}}{\partial q_k} \dot{q}_i \dot{q}_j - \frac{\partial U}{\partial q_k}$$

ΓΡΑΜΜΙΚΟΙ όροι ΕΠΙΤΑΧΥΝΣΕΩΝ

ΤΕΤΡΑΓΩΝΙΚΟΙ όροι ΤΑΧΥΤΗΤΩΝ

ΜΗ ΓΡΑΜΜΙΚΟΙ όροι ΘΕΣΕΩΝ



Στα “ενδότερα” της k εξίσωσης...

$$\frac{d}{dt} \frac{\partial L}{\partial \dot{q}_k} - \frac{\partial L}{\partial q_k} = u_k$$

$$\sum_j m_{kj} \ddot{q}_j + \sum_{i,j} \left(\frac{\partial m_{kj}}{\partial q_i} - \frac{1}{2} \frac{\partial m_{ij}}{\partial q_k} \right) \dot{q}_i \dot{q}_j + \frac{\partial U}{\partial q_k} = u_k$$

ανταλλαγή δεικτών i ,
 j εντός αθροίσματος

$$\dots + \sum_{i,j} \frac{1}{2} \left(\frac{\partial m_{kj}}{\partial q_i} + \frac{\partial m_{ki}}{\partial q_j} - \frac{\partial m_{ij}}{\partial q_k} \right) \dot{q}_i \dot{q}_j + \dots$$

$$c_{kij} = c_{kji}$$

«Σύμβολα
Christoffel»



...και ερμηνεία των δυναμικών όρων

$$\sum_j m_{kj}(q) \ddot{q}_j + \sum_{i,j} c_{kij}(q) \dot{q}_i \dot{q}_j + \frac{\partial U}{\partial q_k} = u_k \quad k = 1, 2, \dots, n$$

Diagram illustrating the decomposition of the dynamic equation:

- The first term, $\sum_j m_{kj}(q) \ddot{q}_j$, is highlighted with a blue box and labeled **ΑΔΡΑΝΕΙΑΚΕΣ δυνάμεις**.
- The second term, $\sum_{i,j} c_{kij}(q) \dot{q}_i \dot{q}_j$, is highlighted with a red box and labeled **ΦΥΓΟΚΕΝΤΡΕΣ δυνάμεις ($i = j$) & δυνάμεις CORIOLIS ($i \neq j$)**.
- The third term, $\frac{\partial U}{\partial q_k}$, is highlighted with a black box and labeled **ΒΑΡΥΤΙΚΟΙ όροι $g_k(q)$** .

$m_{kk}(q) =$ αδράνεια στην k όταν η k επιταχύνει ($m_{kk} > 0$)

$m_{kj}(q) =$ αδράνεια «φαινόμενη» στην k όταν η j επιταχύνει ($= m_{jk}(q)$)

$c_{kii}(q) =$ συντελεστής φυγόκεντρης δύναμης στην k όταν η i κινείται
($c_{iii} = 0 \forall i$)

$c_{kij}(q) =$ συντελεστής δύναμης Coriolis στην k όταν η i και η j κινούνται
και οι δύο ($c_{kji}(q)$)



Δυναμικό μοντέλο ρομπότ (διανυσματική μορφή)

1.

$$M(q)\ddot{q} + c(q, \dot{q}) + g(q) = u$$

$$g(q) = \left(\frac{\partial U}{\partial q} \right)^T$$

Υπολογίζεται από την T

k συνιστώσα του
διανύσματος c

$$c_k(q, \dot{q}) = \dot{q}^T C_k(q) \dot{q}$$

k στήλη του
πίνακα $M(q)$

$$C_k(q) = \frac{1}{2} \left(\frac{\partial M_k}{\partial q} + \left(\frac{\partial M_k}{\partial q} \right)^T - \frac{\partial M}{\partial q_k} \right)$$

Συμμετρικός
πίνακας

2.

$$M(q)\ddot{q} + S(q, \dot{q})\dot{q} + g(q) = u$$

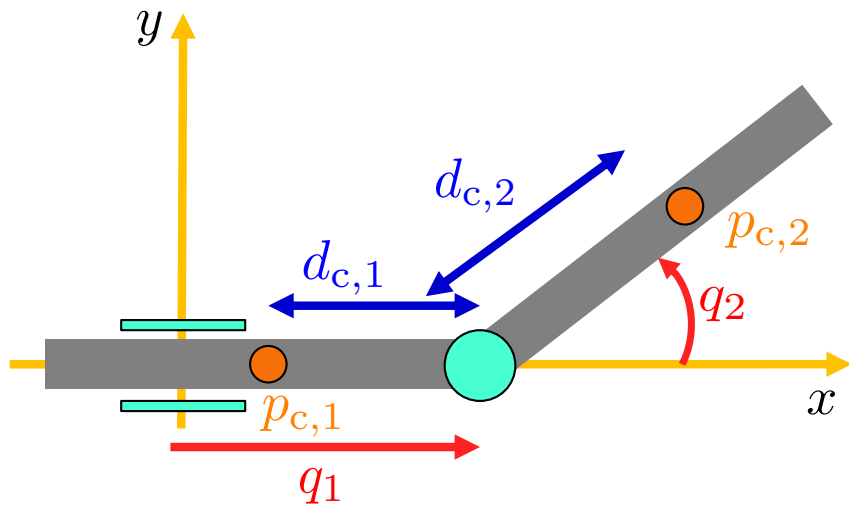
ΔΕΝ είναι
συμμετρικός γενικά

$$s_{kj}(q, \dot{q}) = \sum_i c_{kij}(q) \dot{q}_i$$

Μη μοναδική
παραγοντοποίηση



Παράδειγμα: Βραχίονας PR



$$T = T_1 + T_2$$

$$U = \text{constant} \Rightarrow g(q) = 0$$

(οριζόντιο επίπεδο)

$$p_{c,1} = \begin{bmatrix} q_1 - d_{c,1} \\ 0 \\ 0 \end{bmatrix} \quad \rightarrow \quad \|v_{c,1}\|^2 = \dot{p}_{c,1}^\top \dot{p}_{c,1} = \dot{q}_1^2$$

$$T_1 = \frac{1}{2} m_1 \dot{q}_1^2$$

$$T_2 = \frac{1}{2} m_2 v_{c,2}^\top v_{c,2} + \frac{1}{2} \omega_2^\top I_{c,2} \omega_2$$

$$p_{c,2} = \begin{bmatrix} q_1 + d_{c,2} \cos q_2 \\ d_{c,2} \sin q_2 \\ 0 \end{bmatrix} \quad \rightarrow \quad v_{c,2} = \begin{bmatrix} \dot{q}_1 - d_{c,2} \sin q_2 & \dot{q}_2 \\ d_{c,2} \cos \dot{q}_2 & 0 \end{bmatrix} \quad \omega_2 = \begin{bmatrix} 0 \\ 0 \\ \dot{q}_2 \end{bmatrix}$$

$$T_2 = \frac{1}{2} m_2 (\dot{q}_1^2 + d_{c,2}^2 \dot{q}_2^2 - 2d_{c,2} \sin q_2 \dot{q}_1 \dot{q}_2) + \frac{1}{2} I_{c,2,zz} \dot{q}_2^2$$



Παράδειγμα: Βραχίονας PR

$$M(q) = \begin{bmatrix} m_1 + m_2 & -m_2 d_{c,2} \sin q_2 \\ -m_2 d_{c,2} \sin q_2 & I_{c,2,zz} + m_2 d_{c,2}^2 \end{bmatrix}$$

M_1 M_2

$$c(q, \dot{q}) = \begin{bmatrix} c_1(q, \dot{q}) \\ c_2(q, \dot{q}) \end{bmatrix}$$

$$c_k(q, \dot{q}) = \dot{q}^\top C_k(q) \dot{q}$$

$$C_k(q) = \frac{1}{2} \left(\frac{\partial M_k}{\partial q} + \left(\frac{\partial M_k}{\partial q} \right)^\top - \frac{\partial M}{\partial q_k} \right)$$

$$C_1(q) = \frac{1}{2} \left[\begin{pmatrix} 0 & 0 \\ 0 & -m_2 d_{c,2} \cos q_2 \end{pmatrix} + \begin{pmatrix} 0 & 0 \\ 0 & -m_2 d_{c,2} \cos q_2 \end{pmatrix} - \begin{pmatrix} 0 & 0 \\ 0 & 0 \end{pmatrix} \right]$$

$$c_1(q, \dot{q}) = -m_2 d_{c,2} \cos q_2 \quad \dot{q}_2^2$$

$$C_2(q) = \frac{1}{2} \left[\begin{pmatrix} 0 & -m_2 d_{c,2} \cos q_2 \\ 0 & 0 \end{pmatrix} + \begin{pmatrix} 0 & 0 \\ -m_2 d_{c,2} \cos q_2 & 0 \end{pmatrix} - \begin{pmatrix} 0 & -m_2 d_{c,2} \cos q_2 \\ -m_2 d_{c,2} \cos q_2 & 0 \end{pmatrix} \right]$$

$$c_2(q, \dot{q}) = 0$$

$$\begin{bmatrix} m_1 + m_2 & -m_2 d_{c,2} \sin q_2 \\ -m_2 d_{c,2} \sin q_2 & I_{c,2,zz} + m_2 d_{c,2}^2 \end{bmatrix} \begin{bmatrix} \ddot{q}_1 \\ \ddot{q}_2 \end{bmatrix} + \begin{bmatrix} -m_2 d_{c,2} \cos q_2 & \dot{q}_2^2 \\ 0 & 0 \end{bmatrix} = \begin{bmatrix} u_1 \\ u_2 \end{bmatrix}$$



Δομικές ιδιότητες

Ο πίνακας $\dot{M} - 2S$ είναι αντισυμμετρικός όταν
ο S ορίζεται με βάση τα σύμβολα Christoffel

Απόδειξη

$$\dot{m}_{kj} = \sum_i \frac{\partial m_{kj}}{\partial q_i} \dot{q}_i \quad 2s_{kj} = \sum_i 2c_{kij} \dot{q}_i = \sum_i \left(\frac{\partial m_{kj}}{\partial q_i} + \frac{\partial m_{ki}}{\partial q_j} - \frac{\partial m_{ij}}{\partial q_k} \right) \dot{q}_i$$

$$\rightarrow \dot{m}_{kj} - 2s_{kj} = \sum_i \left(\frac{\partial m_{ij}}{\partial q_k} - \frac{\partial m_{ki}}{\partial q_j} \right) \dot{q}_i = n_{kj}$$

$$n_{jk} = \dot{m}_{jk} - 2s_{jk} = \sum_i \left(\frac{\partial m_{ik}}{\partial q_j} - \frac{\partial m_{ji}}{\partial q_k} \right) \dot{q}_i = -n_{kj} \quad (\text{ο } M \text{ είναι συμμετρικός})$$

$$\rightarrow x^T (\dot{M} - 2S) x = 0, \quad \forall x$$

Η ιδιότητα αυτή συνεπάγεται την αρχή διατήρησης της ενέργειας και χρησιμοποιείται στο σχεδιασμό νόμων ελέγχου για βραχίονες

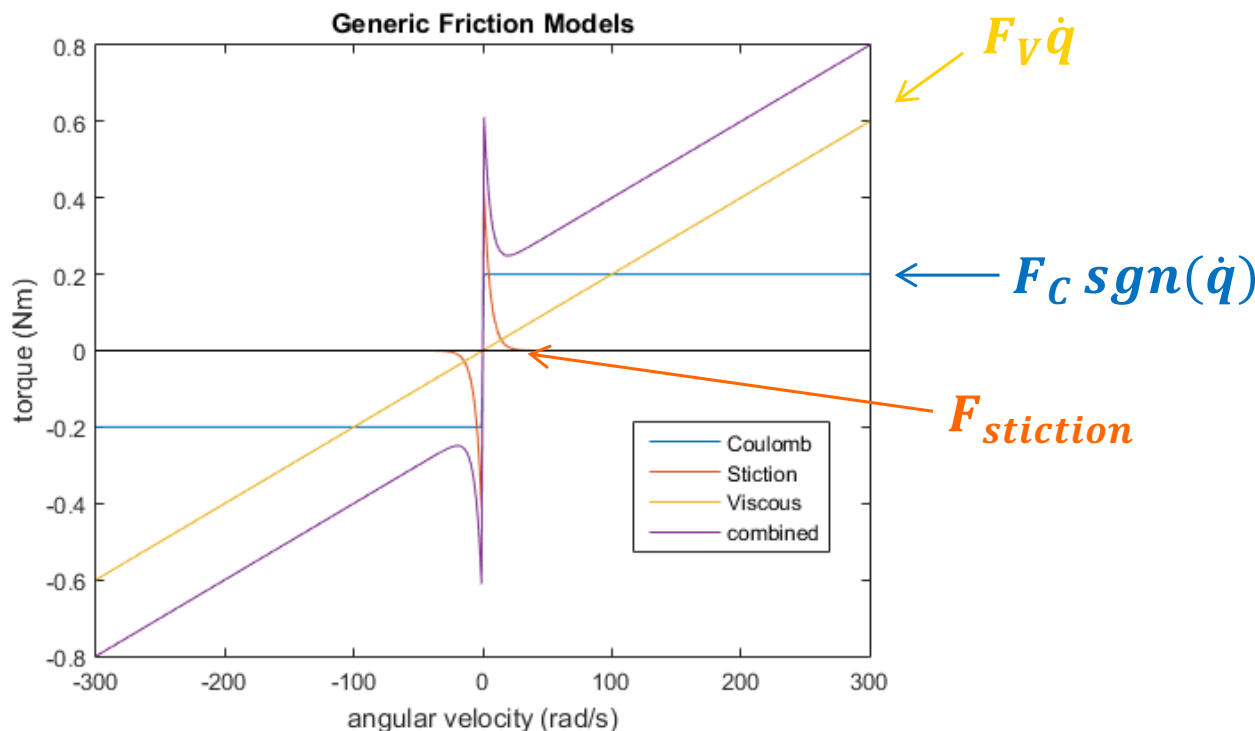


Προσθέτοντας δυναμικούς όρους: Τριβές

- Φαινόμενα απόσβεσης ενέργειας λόγω τριβών στις αρθρώσεις:
 - Ιξώδης τριβή, τριβή Coulomb, κλπ.
 - Τοπικά φαινόμενα στις αρθρώσεις
 - Δύσκολο να μοντελοποιηθούν, εκτός από

$$u_{V,i} = -F_{V,i}\dot{q}_i$$

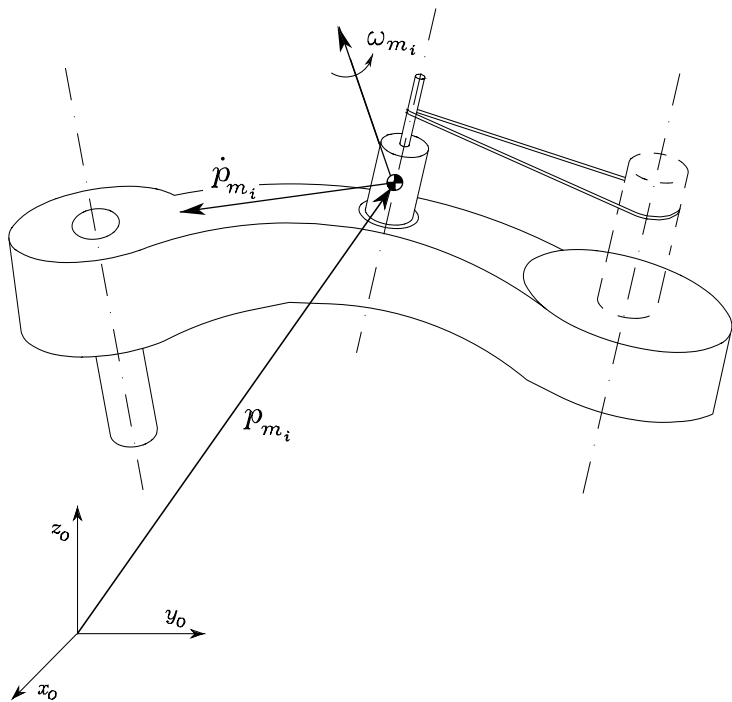
$$u_{C,i} = -F_{C,i} \operatorname{sgn}(\dot{q}_i)$$





Προσθέτοντας δυναμικούς όρους: Κινητήρες

- Ενσωμάτωση **ηλεκτρικών κινητήρων** (θεωρούνται στερεά σώματα)
 - Γενικά ο **κινητήρας i** τοποθετείται στον σύνδεσμο $i-1$ (ή πριν)
 - Συχνά (αν και εξαρτάται από το σύστημα μετάδοσης) ο **δρομέας** του **κινητήρα i** ευθυγραμμίζεται με τον **άξονα της άρθρωσης i**
 - Η **μάζα** του **κινητήρα** προστίθεται στον σύνδεσμο που φέρει τον κινητήρα
 - Η **αδράνεια** του **δρομέα** συνεισφέρει στην **κινητική ενέργεια**
 - Συχνά η μετάδοση της κίνησης με **μειωτήρες** με υψηλό λόγο μετάδοσης



$$T_{mi} = \frac{1}{2} I_{mi} \dot{\theta}_{mi}^2 = \frac{1}{2} (I_{mi} \eta_i^2) \dot{q}_i^2 = \frac{1}{2} B_{mi} \dot{q}_i^2$$



$$T_m = \sum_{i=1}^n T_{mi} = \frac{1}{2} \dot{q}^\top B_m \dot{q}$$

Διαγώνιος, >0



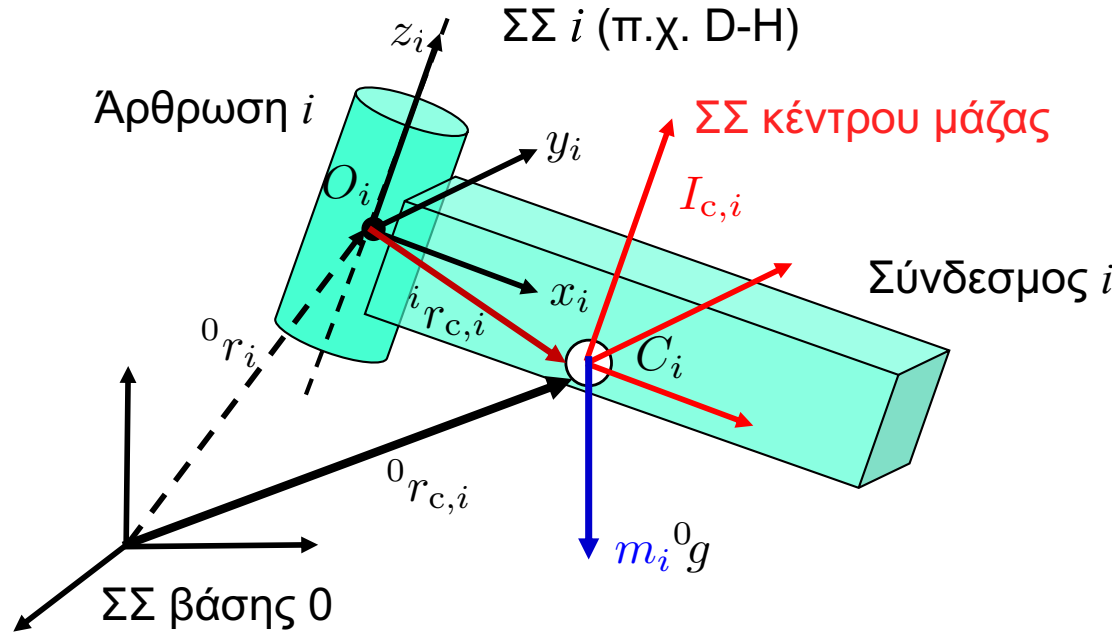
Συνολικό μοντέλο

- Ενσωμάτωση όλων των πρόσθετων όρων

$$(M(q) + B_m)\ddot{q} + c(q, \dot{q}) + g(q) + F_V\dot{q} + F_C \text{sgn}(\dot{q}) = \tau$$

Σταθερός \longrightarrow Δεν συνεισφέρει

Γραμμικότητα ως προς τις δυναμικές παραμέτρους



- Κάθε σύνδεσμος χαρακτηρίζεται από **10 δυναμικές παραμέτρους**:

$$m_i \quad r_{c,i} = \begin{bmatrix} r_{xi} \\ r_{yi} \\ r_{zi} \end{bmatrix} \quad I_{c,i} = \begin{bmatrix} I_{c,i,xx} & I_{c,i,xy} & I_{c,i,xz} \\ & I_{c,i,yy} & I_{c,i,yz} \\ \text{sym} & & I_{c,i,zz} \end{bmatrix}$$

- Η δυναμική του ρομπότ εξαρτάται από **κάποιες** από τις παραμέτρους αυτές (πιθανώς μέσω συνδυασμών όπως $I_{c,i,zz} + m_i r_{x,i}^2$)



Γραμμικότητα ως προς τις δυναμικές παραμέτρους

- Η κινητική και η δυναμική ενέργεια μπορούν να γραφούν έτσι ώστε να εξαρτώνται **γραμμικά** από κατάλληλα επιλεγμένες «**ομάδες**» **παραμέτρων**
 - Εκφράζουμε την **αδράνεια** και τη **θέση του κέντρου μάζας** κάθε συνδέσμου σε σχέση με γνωστό $\Sigma\Sigma$ (που έχει τον ίδιο συνδυασμό με το κεντροβαρικό $\Sigma\Sigma$)
- Θεμελιώδης κινηματική σχέση: $v_{c,i} = v_i + \omega_i \times r_{c,i} = v_i + [\omega_i^\times]r_{c,i} = v_i - [r_{c,i}^\times]\omega_i$
- Κινητική εν. συνδέσμου:
$$\begin{aligned} T_i &= \frac{1}{2}m_i v_{c,i}^\top v_{c,i} + \frac{1}{2}\omega_i^\top I_{c,i} \omega_i \\ &= \frac{1}{2}m_i (v_i - [r_{c,i}^\times]\omega_i)^\top (v_i - [r_{c,i}^\times]\omega_i) + \frac{1}{2}\omega_i^\top I_{c,i} \omega_i \end{aligned}$$

Θεώρημα Steiner: ←

$$I_i = \begin{bmatrix} I_{i,xx} & I_{i,xy} & I_{i,xz} \\ & I_{i,yy} & I_{i,yz} \\ \text{sym} & & I_{i,zz} \end{bmatrix} \quad = \frac{1}{2}m_i v_i^\top v_i + \frac{1}{2}\omega_i^\top \underbrace{(I_{c,i} + m_i[r_{c,i}^\times]^\top [r_{c,i}^\times])}_{\text{green bracket}} \omega_i - v_i^\top [m_i r_{c,i}^\times] \omega_i$$
- Δυναμική εν. Συνδέσμου:
$$\begin{aligned} U_i &= -m_i g_0^\top r_{0,ci} \\ &= -m_i g_0^\top (r_i + r_{ci}) \\ &= -m_i g_0^\top r_i - g_0^\top (m_i r_{ci}) \end{aligned}$$



Γραμμικότητα ως προς τις δυναμικές παραμέτρους

- Εκφράζοντας διανύσματα και πίνακες σχετικά με το Σi καταλήγουμε σε εκφράσεις για την κινητική και τη δυναμική ενέργεια που είναι **γραμμικές** σε σχέση με τις **10** (σταθερές) παραμέτρους $\pi_i \in \mathbb{R}^{10}$

$$T_i = \frac{1}{2} m_i (\overset{\circ}{v})_i^T (\overset{\circ}{v}_i) + m_i (\overset{\circ}{r}_{ci,i})^T [(\overset{\circ}{v}_i)^\times] + \frac{1}{2} (\overset{\circ}{\omega}_i)^T (\overset{\circ}{I}_i) (\overset{\circ}{\omega}_i)$$

$$U_i = - m_i g_0^T r_i - g_0^T R_i (\overset{\circ}{m}_i \overset{\circ}{r}_{ci})$$

$$\begin{aligned} \pi_i &= \begin{bmatrix} m_i \\ m_i (\overset{\circ}{r}_{ci}) \\ \text{vect}\{\overset{\circ}{I}_i\} \end{bmatrix} \\ &= \left[m_i \quad \underbrace{m_i (\overset{\circ}{r}_{ci,x}) \quad m_i (\overset{\circ}{r}_{ci,y}) \quad m_i (\overset{\circ}{r}_{ci,z})}_{\substack{\text{μάζα} \\ \text{συνδέσμου } i}} \quad \underbrace{\overset{\circ}{I}_{i,xx} \quad \overset{\circ}{I}_{i,xy} \quad \overset{\circ}{I}_{i,xz} \quad \overset{\circ}{I}_{i,yy} \quad \overset{\circ}{I}_{i,yz} \quad \overset{\circ}{I}_{i,zz}}_{\substack{\text{αδράνεια} \\ \text{συνδέσμου } i}} \right]^T \end{aligned}$$



Γραμμικότητα ως προς τις δυναμικές παραμέτρους

- Οι εξισώσεις E-L περιέχουν την τέλεση μόνο γραμμικών πράξεων επί των T και U , η δυναμική του ρομπότ είναι γραμμική ως προς τις παραμέτρους $\pi \in \mathbb{R}^{10n}$

$$\pi^T = [\pi_1^T \quad \pi_2^T \quad \dots \quad \pi_n^T]^T$$

$$M(q)\ddot{q} + c(q, \dot{q}) + g(q) = \underbrace{Y_\pi(q, \dot{q}, \ddot{q})\pi}_{n \times 10n} = u$$

μπλοκ-διαγώνιος (για ανοιχτές
κινηματικές αλυσίδες)

regression matrix

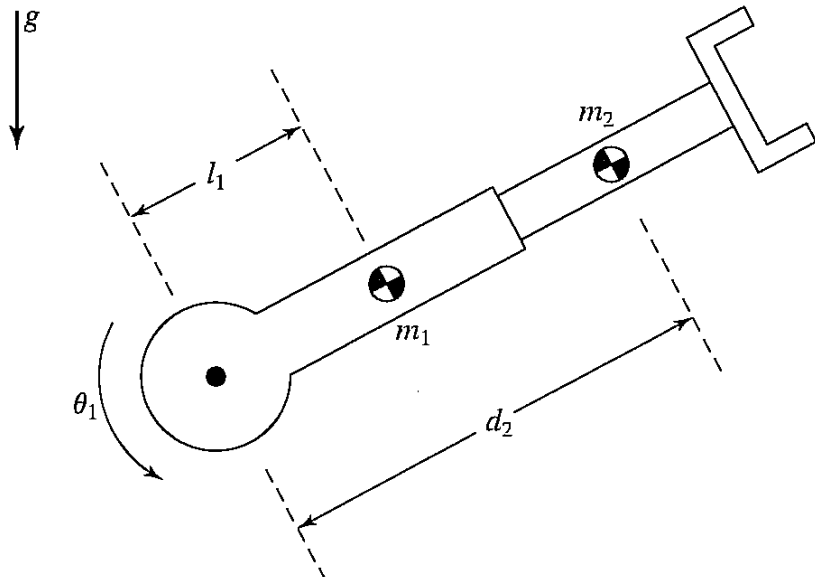
- Κάποιες από τις $10n$ παραμέτρους είναι δυνατόν να μην εμφανίζονται στο δυναμικό μοντέλο δεδομένου βραχίονα \Rightarrow αντίστοιχες στήλες του Y_π είναι 0
- Κάποιες από τις $10n$ παραμέτρους μπορεί να εμφανίζονται σε συγκεκριμένους συνδυασμούς με άλλες παραμέτρους \Rightarrow αντίστοιχες στήλες του Y_π είναι γραμμικά εξαρτημένες
- Αν περιληφθούν (i) ο επενεργητής του συνδέσμου, (ii) η τριβή Coulomb και (iii) η ιξώδης τριβή \Rightarrow προστίθενται 3 παράμετροι ανά σύνδεσμο



Γραμμικότητα ως προς τις δυναμικές παραμέτρους

- Μπορούν να βρεθούν $p \ll 10n$ ομάδες παραμέτρων (σχετικές με τις p ανεξάρτητες στήλες του πίνακα Y_π) που ορίζουν τους δυναμικούς συντελεστές του ρομπότ \Rightarrow ελάχιστη παραμετρικοποίηση του ρομπότ
- Αυτό μπορεί να γίνει με θεώρηση των δυναμικών εξισώσεων ή (καλύτερα) και με συστηματικό τρόπο.

Βραχίονας RP



$$(m_1 l_1^2 + I_{zz,1} + I_{zz,2} + m_2 d_2^2) \ddot{\theta}_1 + 2m_2 d_2 \dot{\theta}_1 \dot{d}_2 + (m_1 l_1 + m_2 d_2) g \cos \theta_1 = u_1$$

$$m_2 \ddot{d}_2 - m_2 d_2 \dot{\theta}_1^2 + m_2 g \sin \theta_1 = u_2$$

$$\ddot{\theta}_1 (m_1 l_1^2 + I_{zz,1} + I_{zz,2}) + g \cos \theta_1 (m_1 l_1) + (d_2^2 \ddot{\theta}_1 + 2d_2 \dot{\theta}_1 \dot{d}_2 + d_2 g \cos \theta_1) m_2 = u_1$$

$$(\ddot{d}_2 - d_2 \dot{\theta}_1^2 + g \sin \theta_1) m_2 = u_2$$

$$\begin{bmatrix} \ddot{\theta}_1 & g \cos \theta_1 & d_2^2 \ddot{\theta}_1 + 2d_2 \dot{\theta}_1 \dot{d}_2 + d_2 g \cos \theta_1 \\ 0 & 0 & \ddot{d}_2 - d_2 \dot{\theta}_1^2 + g \sin \theta_1 \end{bmatrix} \begin{bmatrix} m_1 l_1^2 + I_{zz,1} + I_{zz,2} \\ m_1 l_1 \\ m_2 \end{bmatrix} = \begin{bmatrix} u_1 \\ u_2 \end{bmatrix}$$



Αναγνώριση δυναμικών παραμέτρων

- ❑ Ο ορισμός **ελάχιστων δυναμικών παραμέτρων** χρησιμοποιείται στην πειραματική «**ταυτοποίηση**» (εύρεση των αριθμητικών τιμών) των δυναμικών συντελεστών του ρομπότ
 - ❑ Οι κατασκευαστές παρέχουν μόνο κάποιες κύριες δυναμικές παραμέτρους π.χ. μάζες συνδέσμων
 - ❑ **Εκτιμήσεις** των παραμέτρων μπορεί να γίνουν μέσω εργαλείων CAD με απλουστευτικές παραδοχές (π.χ. ομοιόμορφα κατανεμημένη μάζα)
- ❑ Αν το ΤΣΔ του ρομπότ μεταφέρει κάποιο φορτίο
 - ❑ μεταβάλλονται οι 10 παράμετροι του τελευταίου συνδέσμου...
 - ❑ ... και όλες (σχεδόν) οι δυναμικές παράμετροι του ρομπότ!
- ❑ Απαιτούνται **πειράματα ταυτοποίησης**
 - ❑ Το ρομπότ πρέπει να είναι σε κίνηση για τη διέγερση των δυναμικών χαρακτηριστικών του (όχι μόνο των στατικών/γεωμετρικών)
 - ❑ **Μόνο οι δυναμικοί συντελεστές** (ελάχιστο σύνολο δυναμικών παραμέτρων) **μπορούν να ταυτοποιηθούν** (και **όχι** όλες οι παράμετροι για κάθε σύνδεσμο)



Διαδικασία αναγνώριση

1. **Επιλέξτε** μια τροχιά $q_d(t)$ που να διεγείρει τη δυναμική του ρομπότ, δηλ.
 - Εξερευνά ικανοποιητικά τον χώρο εργασίας και εμπλέκει όλες τις συνιστώσες του δυναμικού μοντέλου.
 - Είναι περιοδική με πολλές συνιστώσες στο πεδίο της συχνότητας
2. **Εκτελέστε** την τροχιά χρησιμοποιώντας κατάλληλο νόμο ελέγχου
 - Συνήθως χρησιμοποιείται έλεγχος PD επειδή δεν απαιτεί γνώση του μοντέλου
3. **Μετρήστε** το q σε n_c χρονικές στιγμές με χρήση encoders
 - Οι ταχύτητες και οι επιταχύνσεις των αρθρώσεων μπορούν να εκτιμηθούν offline με χρήση κατάλληλων φίλτρων και αριθμητικών μεθόδων
4. **Υπολογίστε** τον πίνακα Y και χρησιμοποιείστε τις αντίστοιχες τιμές των εισόδων στην εξίσωση

$$Y(q(t_k), \dot{q}(t_k), \ddot{q}(t_k)) a = u(t_k) \quad k = 1, \dots, n_C$$

↑
ελάχιστος αριθμός
παραμέτρων



Ταυτοποίηση ελαχίστων τετραγώνων

- Ορίζουμε το αλγεβρικό σύστημα γραμμικών εξισώσεων

$$\underbrace{\begin{bmatrix} Y(q(t_1), \dot{q}(t_1), \ddot{q}(t_1)) \\ Y(q(t_2), \dot{q}(t_2), \ddot{q}(t_2)) \\ \vdots \\ Y(q(t_{n_C}), \dot{q}(t_{n_C}), \ddot{q}(t_{n_C})) \end{bmatrix}}_{(n_C \cdot n) \times p} a = \begin{bmatrix} u(t_1) \\ u(t_2) \\ \vdots \\ u(t_{n_C}) \end{bmatrix} \quad \leftrightarrow \quad \bar{Y}a = \bar{u}$$

- Ικανοποιητικά διεγείρουσες τροχιές + αρκετά μεγάλος αριθμός σημείων κατά τη δειγματοληψία της εκτέλεσης της τροχιάς ώστε $n_C \cdot n \gg p$ + κατάλληλη επιλογή των σημείων του δείγματος $\Rightarrow \text{rank } \bar{Y} = p$
- Λύση συστήματος μέσω του ψευδοαντίστροφου

$$a = \bar{Y}^\# \bar{u} = (\bar{Y}^\top \bar{Y})^{-1} \bar{Y}^\top \bar{u}$$